

EVIDENČNÍ FORMULÁŘ

1. Tvůrce(i):

Jméno a příjmení, titul: Oldřich Sucharda, Ing. Bc., Ph.D.
Adresa bydliště: Tilschové 4/839, 709 00 Ostrava – Mar. Hory, ČR
Název zaměstnavatele: VŠB – TU Ostrava
Sídlo zaměstnavatele: 17. listopadu 2172/15, 708 00 Ostrava
IČ zaměstnavatele: 61989100
Oddělení/útvary: Fakulta stavební, Katedra stavebních hmot a diagnostiky staveb
Telefonní číslo/a: +420 597 321 382 *E-mail:* oldrich.sucharda@vsb.cz
Příspěvek tvůrce (slovně): Experimentální zkoušky nosníků, vyhodnocení laboratorních zkoušek, numerické modelování nosníků a nelineární analýza
Podíl na řešení v %: 25

Jméno a příjmení, titul: Vlastimil Bílek, doc. Ing., Ph.D.
Adresa bydliště: 9. května 781, 664 53 Újezd u Brna
Název zaměstnavatele: ŽPSV s.r.o.
Sídlo zaměstnavatele: Třebízského 207, 687 24 Uherský Ostroh
IČ zaměstnavatele: 46346741
Oddělení/útvary: technické oddělení, inženýr technolog
Telefonní číslo/a: +420 602 744 586 *E-mail:* bilek@zpsv.cz
Příspěvek tvůrce (slovně): Vývoj nových receptur pokročilých betonů, zodpovědný za postup technologii výroby v betonárně – průmyslová výroba
Podíl na řešení v %: 25

Jméno a příjmení, titul: Pavlína Matečková, Ing. Ph.D.
Adresa bydliště: Křížkovského 22, 712 00 Ostrava
Název zaměstnavatele: VŠB – TU Ostrava
Sídlo zaměstnavatele: 17. listopadu 2172/15, 708 00 Ostrava
IČ zaměstnavatele: 61989100
Oddělení/útvary: Katedra konstrukcí
Telefonní číslo/a: +420 597 321 394 *E-mail:* pavlina.mateckova@vsb.cz
Příspěvek tvůrce (slovně): Konstrukční návrh nosníků s využitím pokročilých betonů a koordinace projektu za VŠB – TU Ostrava
Podíl na řešení v %: 25

Jméno a příjmení, titul: Stanislav Seitl, doc. Ing., Ph.D.
Adresa bydliště: Větrná 614/18, Brno 635 00
Název zaměstnavatele: Ústav fyziky materiálů AV ČR, v. v. i.
Sídlo zaměstnavatele: Žižkova 513/22, 616 62 Brno, Česká republika
IČ zaměstnavatele: 68081723
Oddělení/útvary: Skupina vysokocyklové únavy
Telefonní číslo/a: 532290361 *E-mail:* seitl@ipm.cz
Příspěvek tvůrce (slovně): Specializované zkoušky mechanických vlastností betonu – Brazilský test a únavové zkoušky, koordinace projektu za Ústav fyziky materiálů AV ČR
Podíl na řešení v %: 25

2. Informace o projektu

Název projektu, v rámci kterého předkládaný výsledek vznikl:

Komplexní návrh nosníků z pokročilých betonů

Evidenční číslo projektu přidělené poskytovatelem:

CZ.01.1.02/0.0/0.0/15_019/0004505

Doba řešení projektu:

01.01.2017 – 23.09.2019

Stručný popis projektu:

Projekt se zabývá vývojem receptur betonů pro návrh nosníků, zejména mostních nosníků, ale také dalších nosných konstrukcí. Nově vyvíjené směsi pokročilých betonů se vyvíjí s ohledem na maximální environmentální efekt a splnění požadavků udržitelného rozvoje betonových konstrukcí. Vyvíjeny byly zejména vysokopevnostní betony s optimalizovanou recepturou pro specifická návrhová kritéria a alkalicky aktivované betony, přičemž součástí projektu je optimalizace a ověření technologie výroby v průmyslových podmínkách. Konstrukční prvky pak budou optimalizovány vzhledem k novým vlastnostem betonů, a to s důrazem na trvanlivost betonu a na jeho vlastnosti při únavovém zatížení. Vyvinuté betony budou ověřeny také experimentálně v rámci vybraných prototypových nosníků z navržené modulové řady. Vývoj pokročilých betonů a návrh nosníků zahrnuje pokročilé numerické modelování zohledňující skutečné chování nosného prvku vystaveného zatížení.

3. Kategorie výsledku:

poloprovoz

ověřená technologie

prototyp

certifikovaná metodika

funkční vzorek

software

specializované mapy

výzkumná zpráva

4. Název výsledku:

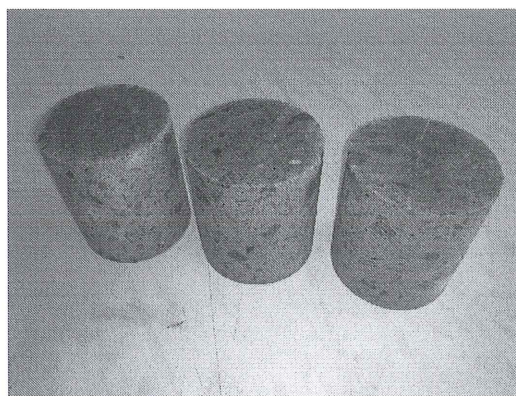
Alkalicky aktivovaný kompozit pro trámový železobetonový nosník

5. Stručný popis výsledku (co je podstatou výsledku a co je v něm nové):

V navržené směsi alkalicky aktivovaného kompozitu je cement nahrazen jiným pojivem. Výroba vyvinutého kompozitu je oproti výrobě běžného betonu méně energeticky náročná a může tím přispět k snížení environmentálního dopadu na životní prostředí. Vyvinutá receptura alkalicky aktivovaného kompozitu vychází ze specifik surovinových možností a dostupnosti zdrojů s ohledem na ekonomičnost a efektivitu. Za novost je možné považovat skutečnost, že receptura je optimalizována a ověřena v průmyslové výrobě v rámci navržené modulové řady unifikovaných nosníků. Kromě ověření průmyslové výroby se verifikovaly a rozšířily znalosti o lomověmechanických vlastnostech, které následně umožnily pokročilý návrh s ohledem na trvanlivost.



Obr. 1 Struktura alkalicky aktivovaného kompozitu



Obr. 2 Ukázkové vývrty z prototypových nosníků

6. Technické parametry výsledku (uveďte technické aj. parametry charakterizující výstup):

6.1 Materiál

Receptura alkalicky aktivovaného kompozitu je uvedena v Tab. 1. Výroba byla ověřena v průmyslové horizontální míchačce o objemu cca 1 m³ ve výrobním závodě ŽPSV s.r.o. v Liticích nad Orlicí. Betonáž proběhla 03.05.2018.

Tab. 1 Receptura alkalicky aktivovaného kompozitu

Složení	kg/m ³
Struska	450
Chrysoplast 760	10
Voda	159
0/4 Lípa	855
4/8 Litice	385
8/16 Litice	400
Na-VS Ms = 2,0	45
50% KOH	34

6.2. Lomověmechanické vlastnosti

Základní mechanické vlastnosti stanovené laboratorními zkouškami jsou shrnuty v Tab. 2, specifické a specializované zkoušky uvádí Tab. 3.

Tab. 2 Základní mechanické vlastnosti ze zkoušek v laboratoři

Vlastnost	Střední hodnota	Jednotky
Pevnost v tlaku – krychelná (28 dnů)	62	[MPa]
Pevnost v tlaku – krychelná (1 den)	8,8	[MPa]
Pevnost v tlaku – válcová (28 dnů)	48	[MPa]
Modul pružnosti – statický	26,3	[GPa]
Pevnost v tahu – příčná	3,4	[MPa]

Handwritten signature or mark.

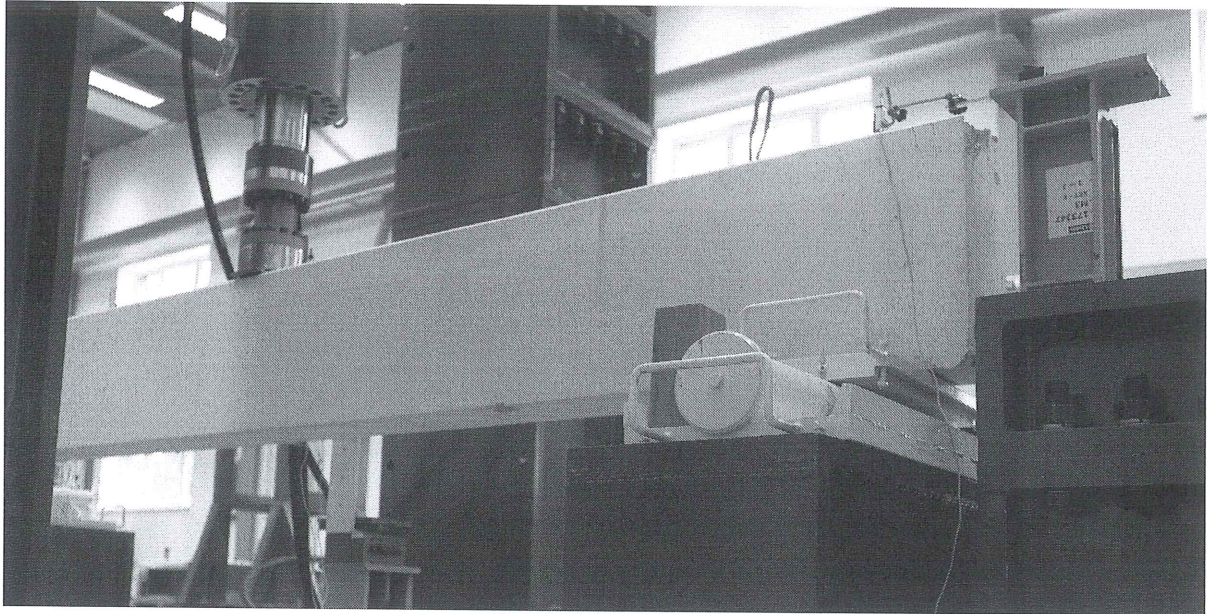
Tab. 3 Specifické a specializované zkoušky

Vlastnost	Střední hodnota		Jednotky
Lomová houževnatost pro mód I	0,666		[MPa m ^{1/2}]
Lomová houževnatost pro mód II	1,020		[MPa m ^{1/2}]
Efektivní lomová houževnatost	1,2018		[MPa m ^{1/2}]
Únavové vlastnosti A	1,31	Rozptyl R ² = 0,8713	[MPa/cyklus]
Únavové vlastnosti B	-0.036		[-]

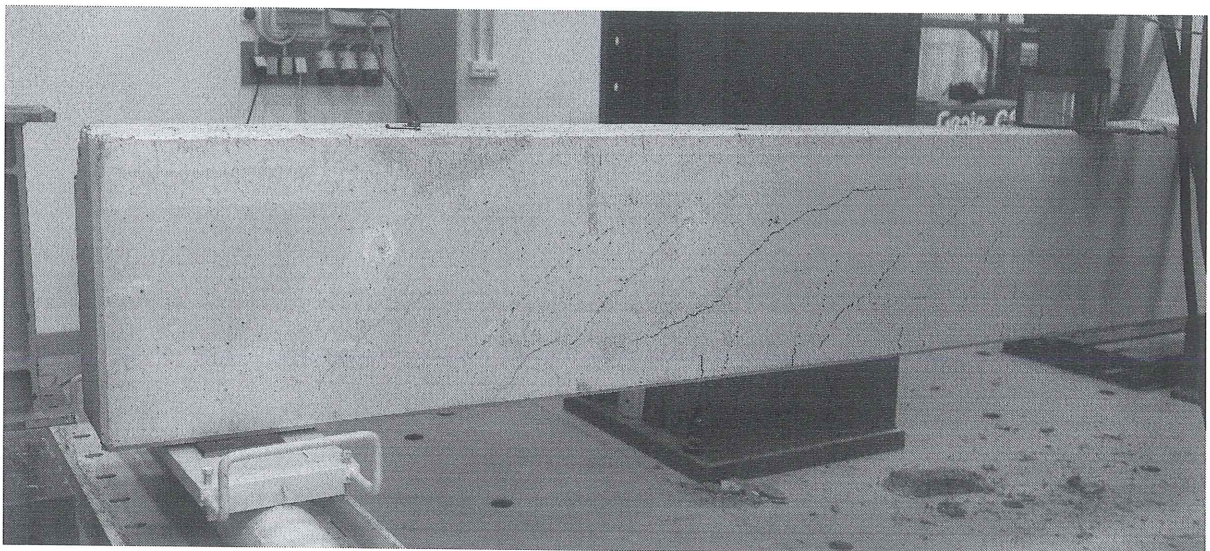
Pro užití alkalicky aktivovaného kompozitu je navržena modulová řada nosníků pro běžné až středně vysoké zatížení v průmyslovém a pozemním stavitelství. Z navržené modulové řady byly vybrány dva nosníky délky 4,5 m a 5,5 m, které byly podrobeny zatěžovací zkoušce tříbodovým ohybem v Experimentálním stavebním centru na VŠB – TU Ostrava pro ověření mechanických vlastností a ověření mechanismu porušení a kolapsu. Experimentální zatěžovací zkouška proběhla na univerzálním zkušebním rámu, zatěžování se realizovalo pomocí hydraulického systému Bosch Rexroth o max. zatížení 1000 kN. Vybrané fotografie ze zkoušek jsou zobrazeny pro nosník 04 – B2 na obr. 3 a 4. Základní průřez nosníku je 305/550, krytí hlavní nosné výztuže je 50 mm. Použitá výztuž je B500B. Souhrnné údaje o prototypových nosnících z návrhu a zkoušek jsou uvedeny v Tab. 4. Součástí pokročilého optimalizovaného návrhu nosníků bylo také numerické modelování s využitím simulačních technik, které zohledňuje zjištěné materiálové vlastnosti kompozitu. Ukázkový výstup numerického modelování je na obr. 5.

Tab. 4 Souhrnné údaje o prototypových nosnících z návrhu a zkoušek

Vlastnost	Nosník 06 – B1	Nosník 04 – B2
Délka [m]	4,10	5,01
Rozpětí [m]	3,66	4,57
Hlavní ohybová výztuž	2xΦ32 + 2xΦ28	3xΦ32 + 2xΦ28
Stupeň vyztužení	2,06 %	2,65 %
Smyková výztuž	2xΦ6/210	2xΦ6/210
Návrhová pevnost betonu [MPa]	26,6	26,6
Rozhodující kritérium návrhu	smyk	smyk
Maximální zatížení v ohybu (návrh. pevnosti materiálů) [kN]	482	386
Maximální zatížení ve smyku (návrh. pevnosti materiálů) [kN]	223	210
Maximální zatížení v ohybu (prům. pevnosti materiálů) [kN]	611	489
Maximální zatížení v smyku (prům. pevnosti materiálů) [kN]	296	226
Maximální zatížení / kolaps nosníku (exp. zatěžování) [kN]	426	453

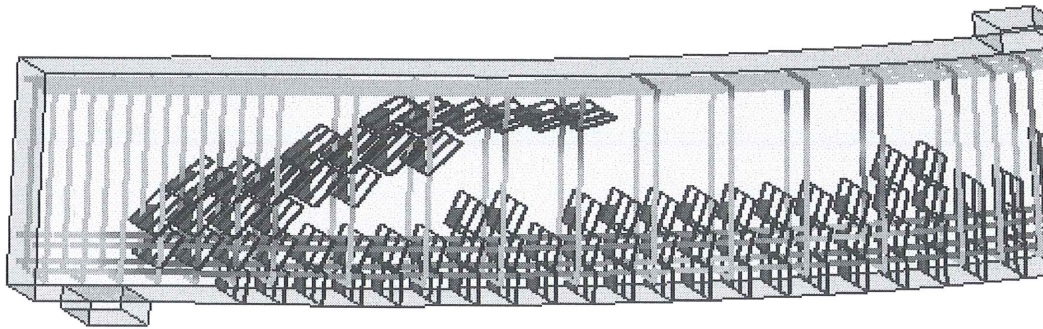


Obr. 3 Nosník 04 – B2 (před zkouškou)



Obr. 4 Nosník 04 – B2 (po zkoušce)

4



Obr. 5 Nosník 04 – B2 – Numerické modelování / nelineární analýza

7. Ekonomické parametry výsledku (např. roční zvýšení objemu výroby, zisku, exportu, atd.):

Mezi hlavní ekonomické aspekty patří zejména posílení konkurenceschopnosti společnosti ve středoevropském měřítku, kdy získané znalosti ze specifik technologie výroby umožnily zvýšit efektivitu (cca o 10 %) a snížit časovou náročnost. Dochází k úspoře času a nákladů ve srovnání s běžnou výrobou. Předpokládá se také zvýšení tržeb, které je obtížné predikovat s ohledem na unikátnost výrobku.

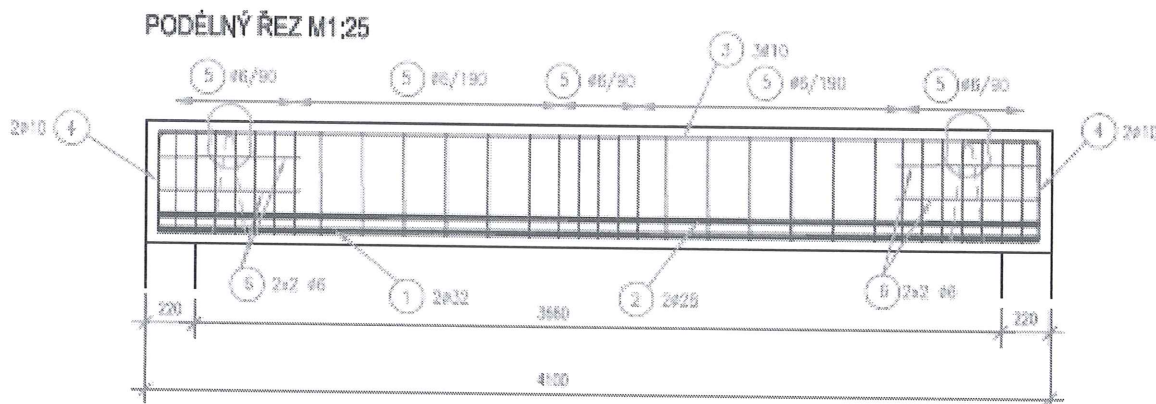
Hlavním uživatelem výsledku bude ŽPSV s.r.o. Nicméně výsledky projektu, které budou v jeho rámci dosaženy společně, budou ve společném vlastnictví smluvních stran. Pokud nelze objektivně určit podíly jednotlivých stran k výsledku, platí, že jsou podíly rovné. Výsledky ve společném vlastnictví je oprávněna samostatně využívat každá ze smluvních stran. Výnosy plynoucí z využití společně vlastněných výsledků třetími osobami budou rozděleny podle dohody smluvních stran, která zohlední tvůrčí přínos smluvních stran, množství vynaložené pracovní kapacity a výši vkladů jednotlivých smluvních stran na realizaci projektu. Účastníci projektu a tím i všichni členové řešitelského kolektivu budou dodržovat mlčenlivost o podstatných informacích, které by mohly vést k prozrazení skutečností o chráněném díle. Řešitel/zadatel i další řešitelé projektu mohou publikovat dílčí výsledky projektu, ale pouze v případě, že bude splněna výše uvedená podmínka. Detailně je zajištění práv duševního vlastnictví popsáno ve smlouvě o využití výsledků. (citace z Podnikatelského záměru z r. 2015)

8. Oblast průmyslové využitelnosti výsledku:

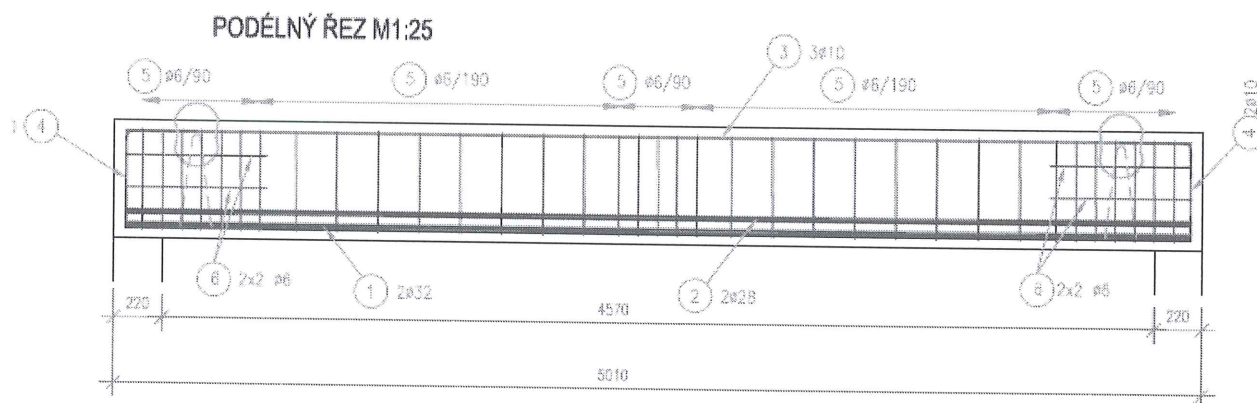
Alkalicky aktivovaný kompozit je možné využít v inženýrském a pozemním stavitelství v případech realizace formou prefabrikace, kde je kladen výrazný důraz na celkovou energetickou bilanci při výrobě a environmentální aspekty. Pro použití je zvolen úzkoprofilový typizovaný průřez a navržena modulová řada pro běžné až středně vysoké zatížení v průmyslovém a pozemním stavitelství. Mezi hlavní oblasti použití patří konstrukční prvky – trámové nosníky, kdy technologie výroby umožňuje využít alkalicky aktivovaný kompozit pro všechny typické prvky nosných konstrukčních soustav. Pro návrh a výrobu je možné také využít již unifikované systémové bednění současného výrobního programu ŽPSV s.r.o.

h

9. Výkres (je-li nutný) na listu formátu A4, pokud možno na výšku, se vztahovými značkami označujícími jednotlivé prvky řešení (výkres by měl být proveden trvanlivými černými čarami, bez použití jiných barev a stínování):



Obr. 6 Nosník 06 – B1 – Tvar a vyztužení nosníků (délka 4,1 m)



Obr. 7 Nosník 04 – B2 – Tvar a vyztužení nosníků (5,01m)

10. Seznam vztahových značek:

11. Podpůrné dokumenty, např. texty, kresby, fotografie, grafy, náčrty, vývojové diagramy, data o výkonu, zprávy:

Příloha 1 – Výkresy vyztuže nosníků B1 a B2

Příloha 2 – Statický výpočet

Příloha 3 – Souhrnný protokol o zkouškách: Prototypových nosníků

Příloha 4 – Únavové zkoušky: Alkalicky aktivovaný kompozit pro trámový železobetonový nosník

Handwritten signature

Tvůrce(i) parafrázuje(i) každou stranu formuláře.

V Ostravě dne

Jméno a příjmení: Oldřich Sucharda, Ing. Bc., Ph.D.

Podpis: 

Jméno a příjmení: Vlastimil Bílek, doc. Ing., Ph.D.

Podpis: 

Jméno a příjmení: Pavlína Matečková, Ing. Ph.D.

Podpis: 

Jméno a příjmení: Stanislav Seitl, doc. Ing., Ph.D.

Podpis: 

Formulář odevzdejte ve dvou vyhotoveních: jedno v písemné podobě a jedno v elektronické podobě.



KoNaNoS - Komplexní návrh nosníků z pokročilých betonů

CZ.01.1.02/0.0/0.0/15_019/0004505

Prototyp Alkalicky aktivovaný kompozit pro trémový železobetonový nosník

STATICKÝ VÝPOČET

Tvůrci prototypu:

Vlastimil Bílek, doc. Ing., Ph.D. - ŽPSV s.r.o.

Pavλίna Matečková, Ing. Ph.D. - VŠB – TU Ostrava, Fakulta stavební

Stanislav Seitl, doc. Ing., Ph.D. - Ústav fyziky materiálů AV ČR, v. v. i.

Oldřich Sucharda, Ing., Ph.D. - VŠB – TU Ostrava, Fakulta stavební

Datum:

06.09.2019

Vypracovala:

Ing. Marie Kozielová, Ph.D.



Ing. Pavλίna Matečková, Ph.D.

Zástupce řešitelského kolektivu FAST VŠB – TU Ostrava

Alkalicky aktivovaný kompozit pro trémový železobetonový nosník

Statický výpočet

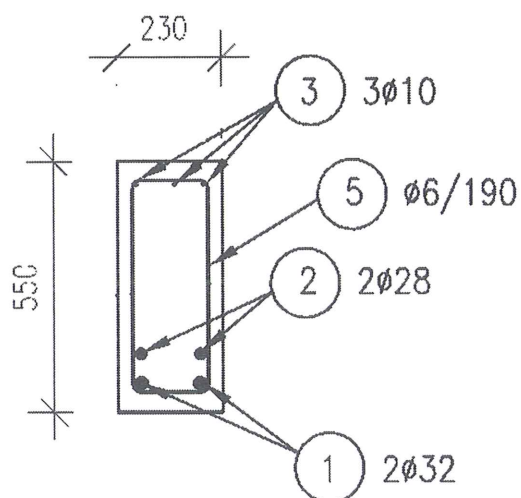
Výrobní řada nosníků:

Označení	Typ nosníku	Návrhová pevnost betonu	Šířka nosníku	Výška nosníku	Délka nosníku	Ohybová únosnost průřezu	Smyková únosnost průřezu
		f_{cd} [MPa]	b [m]	H [m]	L [m]	M_{Rd} [kNm]	V_{Rds} [kN]
AAM 62	B1	26,7	0,23	0,55	4,1	441	117
	B2				5,01	441	105
	B3				6,84	553	208

Základní údaje: Betonáž: 03.05.2018, Označení: AAM62

Statický výpočet byl proveden v souladu s normou ČSN EN 1992-1-1 Eurokód 2: Navrhování betonových konstrukcí – Část 1-1: Obecná pravidla a pravidla pro pozemní stavby.

Nosník B1



Délka nosníku: $L = 4,1$ m

Teoretické rozpětí: $L_{teor} = 3,66$ m

Šířka nosníku: $b = 0,23$ m

Výška nosníku: $h = 0,55$ m

Hlavní nosná výztuž: $2\text{Ø}28, 2\text{Ø}32$

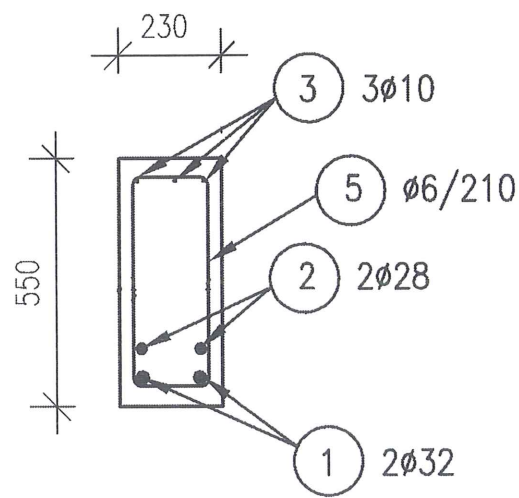
Třmínky: $2\text{Ø}6/190$

Stupeň vlivu prostředí: XF4/XD3

Krytí hlavní výztuže: $c = 50$ mm

Účinná výška průřezu: $d = 0,458$ m

Nosník B2



Délka nosníku: $L = 5,01$ m

Teoretické rozpětí: $L_{teor} = 4,57$ m

Šířka nosníku: $b = 0,23$ m

Výška nosníku: $h = 0,55$ m

Hlavní nosná výztuž: $2\text{Ø}28, 2\text{Ø}32$

Třmínky: $2\text{Ø}6/210$

Stupeň vlivu prostředí: XF4/XD3

Krytí hlavní výztuže: $c = 50$ mm

Účinná výška průřezu: $d = 0,458$ m

Alkalicky aktivovaný kompozit pro trémový železobetonový nosník

Statický výpočet

Materiál:

Beton: C40/50

Průměrná hodnota válcové pevnosti betonu v tlaku: $f_{cm} = 48$ MPa (určeno z výsledků zkoušek)

Charakteristická hodnota válcové pevnosti betonu v tlaku: $f_{ck} = f_{cm} - 8 = 40$ MPa

Návrhová hodnota válcové pevnosti betonu v tlaku: $f_{cd} = \frac{f_{ck}}{1,5} = 26,6$ MPa

Betonářská výztuž: B500B

Průměrná mez kluzu betonářské výztuže: $f_y = 500$ MPa

Charakteristická mez kluzu betonářské výztuže: $f_{yk} = 500$ MPa

Návrhová mez kluzu betonářské výztuže: $f_{yd} = \frac{f_{yk}}{1,15} = 434,78$ MPa

Modul pružnosti $E_s = 200$ GPa

Únosnost průřezu:

Ohybová únosnost průřezu B1

Plocha hlavní nosné tahové výztuže (2ØR28, 2ØR32): $A_s = 2840 \cdot 10^{-6} \text{ m}^2$

Síla ve výztuži: $F_s = A_s \cdot f_{yk} = 2840 \cdot 10^{-6} \cdot 500 \cdot 10^3 = 1420$ kPa

Výška tlačené oblasti: $x = \frac{F_s}{\lambda \cdot b \cdot \eta \cdot f_{cm}} = \frac{1420}{0,8 \cdot 0,23 \cdot 1,0 \cdot 48 \cdot 10^3} = 0,161$ m

Kontrola výšky tlačené oblasti: $\frac{x}{d} = \frac{0,161}{0,458} = 0,351 < \xi_{bal} = \frac{\varepsilon_{cu3}}{\varepsilon_{cu3} + \frac{f_{yk}}{E_s}} = \frac{3,5}{3,5 + \frac{500}{200}} = 0,583$

Souč. definující účinnou výšku tlačené oblasti: $\lambda = 0,8$

Souč. definující účinnou pevnost: $\eta = 1,0$

Stupeň vyztužení (vztaženo k výšce průřezu d): 2,7 %

Moment únosnosti průřezu: $M_R = F_s \cdot (d - 0,4 \cdot x) = 1420 \cdot (0,458 - 0,4 \cdot 0,161) = 559$ kNm

Maximální síla nutná pro porušení průřezu: $F_{max,moment} = 4 \cdot \frac{M_R}{L_{teor}} = 4 \cdot \frac{559}{3,66} = 611$ kN

Návrhový moment únosnosti průřezu: $M_{Rd} = 441$ kNm

Maximální návrhová síla nutná pro porušení průřezu: $F_{max,moment,d} = 482$ kN

Ohybová únosnost průřezu B2

Plocha hlavní nosné tahové výztuže (2ØR28, 2ØR32): $A_s = 2840 \cdot 10^{-6} \text{ m}^2$

Síla ve výztuži: $F_s = A_s \cdot f_{yk} = 2840 \cdot 10^{-6} \cdot 500 \cdot 10^3 = 1420$ kPa

Výška tlačené oblasti: $x = \frac{F_s}{\lambda \cdot b \cdot \eta \cdot f_{cm}} = \frac{1420}{0,8 \cdot 0,23 \cdot 1,0 \cdot 48 \cdot 10^3} = 0,161$ m

Alkalicky aktivovaný kompozit pro trémový železobetonový nosník

Statický výpočet

$$\text{Kontrola výšky tlačené oblasti: } \frac{x}{d} = \frac{0,161}{0,458} = 0,351 < \xi_{bal} = \frac{\varepsilon_{cu3}}{\varepsilon_{cu3} + \frac{f_{yk}}{E_s}} = \frac{3,5}{3,5 + \frac{500}{200}} = 0,583$$

Stupeň vyztužení (vztaženo k výšce průřezu d): 2,7 %

$$\text{Moment únosnosti průřezu: } M_R = F_s \cdot (d - 0,4 \cdot x) = 1420 \cdot (0,458 - 0,4 \cdot 0,161) = 559 \text{ kNm}$$

$$\text{Maximální síla nutná pro porušení průřezu: } F_{max,moment} = 4 \cdot \frac{M_R}{L_{teor}} = 4 \cdot \frac{559}{4,57} = 489 \text{ kN}$$

$$\text{Návrhový moment únosnosti průřezu: } M_{Rd} = 441 \text{ kNm}$$

$$\text{Maximální návrhová síla nutná pro porušení průřezu: } F_{max,moment,d} = 386 \text{ kN}$$

Smyková únosnost průřezu B1

$$\text{Průřezová plocha smykové výztuže: } A_{sw} = 57 \cdot 10^{-6} \text{ m}^2$$

$$\text{Osová vzdálenost třmínků: } s = 190 \text{ mm}$$

$$\text{Rameno vnitřních sil: } z = d - 0,4 \cdot x = 0,458 - 0,4 \cdot 0,161 = 0,394 \text{ m}$$

Průměrná hodnota posouvající síly, kterou může převzít smyková výztuž na mezi kluzu, pro úhel $\Theta = 45^\circ$:

$$V_{R,s} = \frac{A_{sw}}{s} \cdot z \cdot f_{ywk} \cdot \cot\Theta = \frac{57 \cdot 10^{-6}}{0,19} \cdot 0,394 \cdot 500 \cdot 10^3 \cdot 1,0 = 59 \text{ kN}$$

$$\text{Maximální síla nutná pro porušení průřezu: } F_{max,sila} = 2 \cdot V_{R,s} = 2 \cdot 59 = 118 \text{ kN}$$

Návrhová hodnota posouvající síly, kterou může převzít smyková výztuž na mezi kluzu, pro úhel $\Theta = 45^\circ$: $V_{Rd,s} = 47 \text{ kN}$

$$\text{Maximální návrhová síla nutná pro porušení průřezu: } F_{max,sila,d} = 93 \text{ kN}$$

Průměrná hodnota posouvající síly, kterou může převzít smyková výztuž na mezi kluzu, pro úhel $\Theta = 22^\circ$:

$$V_{R,s} = \frac{A_{sw}}{s} \cdot z \cdot f_{ywk} \cdot \cot\Theta = \frac{57 \cdot 10^{-6}}{0,19} \cdot 0,394 \cdot 500 \cdot 10^3 \cdot 2,5 = 148 \text{ kN}$$

$$\text{Maximální síla nutná pro porušení průřezu: } F_{max,sila} = 2 \cdot V_{R,s} = 2 \cdot 148 = 296 \text{ kN}$$

Návrhová hodnota posouvající síly, kterou může převzít smyková výztuž na mezi kluzu, pro úhel $\Theta = 22^\circ$: $V_{Rd,s} = 117 \text{ kN}$

$$\text{Maximální návrhová síla nutná pro porušení průřezu: } F_{max,sila,d} = 223 \text{ kN}$$

Smyková únosnost průřezu B2

$$\text{Průřezová plocha smykové výztuže: } A_{sw} = 57 \cdot 10^{-6} \text{ m}^2$$

$$\text{Osová vzdálenost třmínků: } s = 210 \text{ mm}$$

$$\text{Rameno vnitřních sil: } z = d - 0,4 \cdot x = 0,458 - 0,4 \cdot 0,161 = 0,394 \text{ m}$$

Alkalicky aktivovaný kompozit pro trémový železobetonový nosník

Statický výpočet

Průměrná hodnota posouvající síly, kterou může převzít smyková výztuž na mezi kluzu, pro úhel $\Theta = 45^\circ$:

$$V_{R,s} = \frac{A_{sw}}{s} \cdot z \cdot f_{ywk} \cdot \cot\Theta = \frac{57 \cdot 10^{-6}}{0,21} \cdot 0,394 \cdot 500 \cdot 10^3 \cdot 1,0 = 53 \text{ kN}$$

Maximální síla nutná pro porušení průřezu: $F_{max,síla} = 2 \cdot V_{R,s} = 2 \cdot 53 = 107 \text{ kN}$

Návrhová hodnota posouvající síly, kterou může převzít smyková výztuž na mezi kluzu, pro úhel $\Theta = 45^\circ$: $V_{Rd,s} = 42 \text{ kN}$

Maximální návrhová síla nutná pro porušení průřezu: $F_{max,síla,d} = 84 \text{ kN}$

Průměrná hodnota posouvající síly, kterou může převzít smyková výztuž na mezi kluzu, pro úhel $\Theta = 22^\circ$:

$$V_{R,s} = \frac{A_{sw}}{s} \cdot z \cdot f_{ywk} \cdot \cot\Theta = \frac{57 \cdot 10^{-6}}{0,21} \cdot 0,394 \cdot 500 \cdot 10^3 \cdot 2,5 = 133 \text{ kN}$$

Maximální síla nutná pro porušení průřezu: $F_{max,síla} = 2 \cdot V_{R,s} = 2 \cdot 133 = 266 \text{ kN}$

Návrhová hodnota posouvající síly, kterou může převzít smyková výztuž na mezi kluzu, pro úhel $\Theta = 22^\circ$: $V_{Rd,s} = 105 \text{ kN}$

Maximální návrhová síla nutná pro porušení průřezu: $F_{max,síla,d} = 210 \text{ kN}$

Závěr:

U prvku B1 je rozhodující porušení ve smyku.

Porušení ve smyku se očekává při dosažení síly 296 kN.

U prvku B2 je rozhodující porušení ve smyku.

Porušení ve smyku se očekává při dosažení síly 266 kN.

SOUHRNNÝ PROTOKOL

o zkouškách:

PROTOTYPOVÝCH NOSNÍKŮ

v rámci projektu

KoNaNoS - Komplexní návrh nosníků z pokročilých betonů

CZ.01.1.02/0.0/0.0/15_019/0004505

PROTOTYPY

- A) **Trámový železobetonový nosník z vysokopevnostního betonu**
(nosník A1 a A2) 15.11.2018
- B) **Alkalicky aktivovaný kompozit pro trámový železobetonový nosník**
(nosník B1 a B2) 03.05.2018
- C) **Vysokohodnotný beton pro předpjaté nosníky**
(deskový nosník) vzorky betonáž 31.05.2017, nosník 19.06.2017
- D) **Vysokopevnostní beton s drátky pro štíhlé železobetonové nosníky profilu I**
(I nosník) betonáž 14.02.2019, 23.05.2019

Objednatel/Zadavatel zkoušek:

Vlastimil Bílek, doc. Ing., Ph.D. - ŽPSV s.r.o.

Pavčina Matečková, Ing., Ph.D. - VŠB – TU Ostrava, Fakulta stavební

Stanislav Seitl, doc. Ing., Ph.D. - Ústav fyziky materiálů AV ČR, v. v. i.

Datum vystavení protokolu:

12.09.2019

Vyhotovil:

Ing. Bc. Oldřich Sucharda, Ph.D.

Sucharda Oldřich

Tento protokol může být reprodukován jedině celý, jeho část pouze s písemným souhlasem.

Výsledky zkoušek se týkají výhradně předmětu experimentálního programu.

Zkušební laboratoř se řídí systémem ČSN EN ISO 9001.

Souhrnný zkušební protokol je přílohou pro evidenci prototypů.

Identifikace zkušební laboratoře:

Vysoká škola báňská – Technická univerzita Ostrava, Fakulta stavební (FAST)

Ludvíka Podéště 1875/17, 708 00 Ostrava–Poruba

- Experimentální stavební centrum (prototypové nosníky)
- Katedra stavebních hmot a diagnostiky staveb (malé vzorky – mechanické vlastnosti)

Jména pracovníků, kteří zkoušku provedli:

- Ing. Bc. Oldřich Sucharda, Ph.D. – zkušební technik
- Pracovníci Experimentálního stavebního centra
- Pracovníci Katedry stavebních hmot a diagnostiky staveb

Předmět zkoušky:

Série 8 prototypových nosníků v rámci projektu: KoNaNoS - Komplexní návrh nosníků z pokročilých betonů, evidenční číslo CZ.01.1.02/0.0/0.0/15_019/0004505.

Cíl zkoušek:

Ověřit spolehlivost a chování konstrukce.
Ověřit výpočetní modely, zejména jejich výstižnost.

Účel zkoušek:

Průkazní – prototypové zkoušky, sloužící k ověření spolehlivosti před zahájením výroby.

Druh zkoušek:

Zatěžovací zkoušky prováděné do dosažení únosnosti (porušení) konstrukce.

Zkušební postup:

Statická zatěžovací zkouška – Zatěžovací zkoušky stavebních konstrukcí ČSN 73 2030 [1] ve variantě pro validaci výpočetních modelů, které se řeší nelineární analýzou, zohledňují skutečné chování.

- Způsob zatěžování: Zkušební rám s hydraulickým systémem Bosch Rexroth (hydraulické válce 400, 1000 a 2000 kN)
Zatěžování řízenou deformací s krokem 5 mm

1. ÚVOD

Základním cílem statické zatěžovací zkoušky je zjištění maximální síly při dosažení únosnosti zkoušených železobetonových a předpjatých trámů. Cílem zkoušek je také ověřit chování konstrukcí a mechanismus porušení.

2. POPIS ZKOUŠENÝCH PROTOTYPŮ

Celkový zkušební program zahrnuje 8 prototypových nosníků, které jsou v různých rozpětích, průřezech a materiálovém provedení. Podrobnosti ke tvaru a způsobu vyztužení uvádí příloha 1. Souhrnné údaje o označení, materiálech, rozpětí, průřezu a použitém hydraulickém válci uvádí tab. 1.

Tab. 1 Specifikace prototypových nosníků

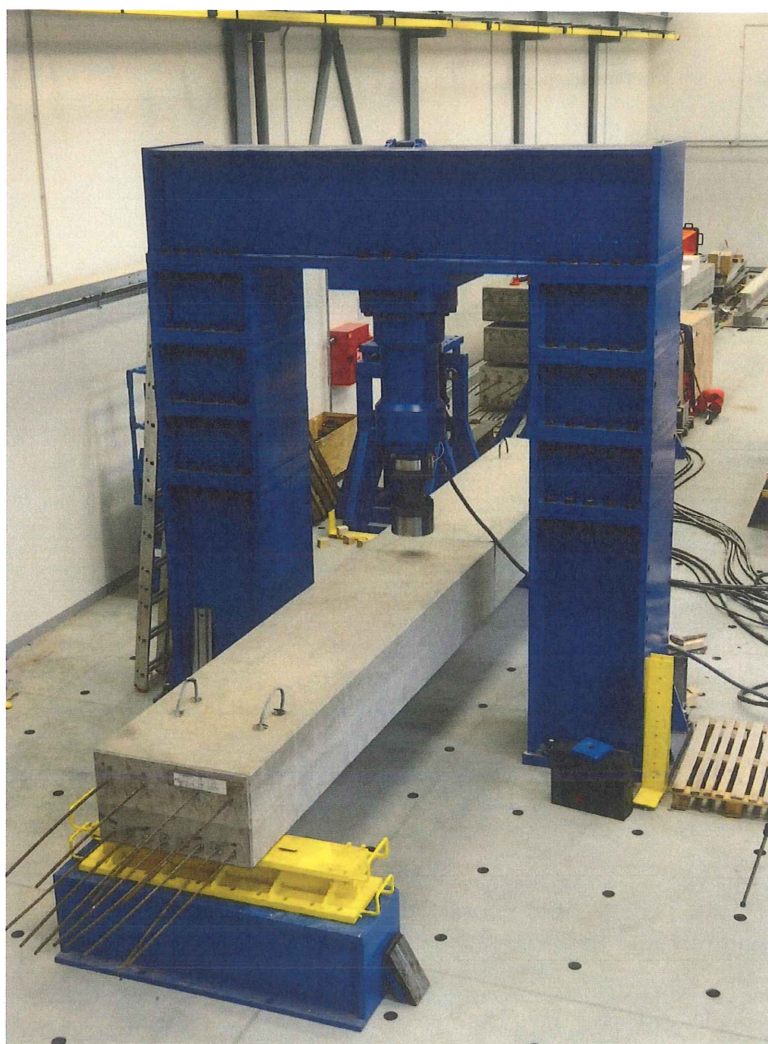
Číslo	Ozn.	Popis (použitý hydraulický válec)	Betonáž	Profil (šířka x výška) [mm]	Délka (rozpětí) [m]
A1	1	Trámový železobetonový nosník z vysokopevnostního betonu (hydraulický válec 1000 kN)	15.11.2018	300 x 550	4,10 (3,66)
A2	2	Trámový železobetonový nosník z vysokopevnostního betonu (hydraulický válec 1000 kN)	15.11.2018	300 x 550	5,01 (4,57)
B1	3	Alkalicky aktivovaný kompozit pro trámový železobetonový nosník (hydraulický válec 1000 kN)	03.05.2018	230 x 550	4,10 (3,66)
B2	4	Alkalicky aktivovaný kompozit pro trámový železobetonový nosník (hydraulický válec 2000 kN)	03.05.2018	230 x 550	5,01 (4,57)
C1	5	Vysokohodnotný beton pro předpjaté nosníky (hydraulický válec 2000 kN)	19.06.2017	900 x 520	7,00 (6,50)
C2	6	Vysokohodnotný beton pro předpjaté nosníky (hydraulický válec 400 kN)	19.06.2017	900 x 520	7,00 (6,50)
D1	7	Vysokopevnostní beton s drátky pro štíhlé železobetonové nosníky profilu I – krátké drátky (hydraulický válec 400 kN)	14.02.2019	250 x 350 profil I	6,15 (5,95)
D2	8	Vysokopevnostní beton s drátky pro štíhlé železobetonové nosníky profilu I – hybrid drátky (hydraulický válec 400 kN)	23.05.2019	250 x 350 profil I	6,15 (5,95)



Železobetonové nosníky jsou vyztuženy betonářskou výztuží B500B. Předpjaté nosníky mají také předpínací výztuže Y1860 S7-15,7. Nosníky mají rovněž smykovou výztuž – třmínky. Beton se liší dle konkrétní varianty – prototypu. Při zkoušení byl nosník uložen na válečkových ložiscích tak, aby se skutečné podmínky uložení co nejvíce přiblížily podmínkám uvažovaným v teoretickém výpočtu (prostý nosník).

2. ZKUŠEBNÍ A MĚŘICÍ LINKA

Při statické zatěžovací zkoušce byl využit zkušební rám s hydraulickým systémem firmy Bosch Rexroth. Jedná se o hydraulický systém s pracovním tlakem 270 kPa, který může mít zapojeno pět hydraulických válců, největší hydraulický válec je pro zatížení až 2000 kN. Hydraulický systém je napojen na digitální řídicí systém, který byl napojen na měřicí ústřednu – dataloger AHBORN ALMEMO 2690-8A v kombinaci s měřicí dráhou řady ALMEMO FW s rozlišením přesností 0,01 mm. Základním vyhodnocovaným parametrem byl svislý průhyb uprostřed rozpětí. Kontrolní/doplňková čidla byla umístěna nad podporami.



Obr. 1. Celkový pohled na zkušební rám s hydraulickým válcem 2000 kN (před nastrojením)

3. STATICKÁ ZATĚŽOVACÍ ZKOUŠKA

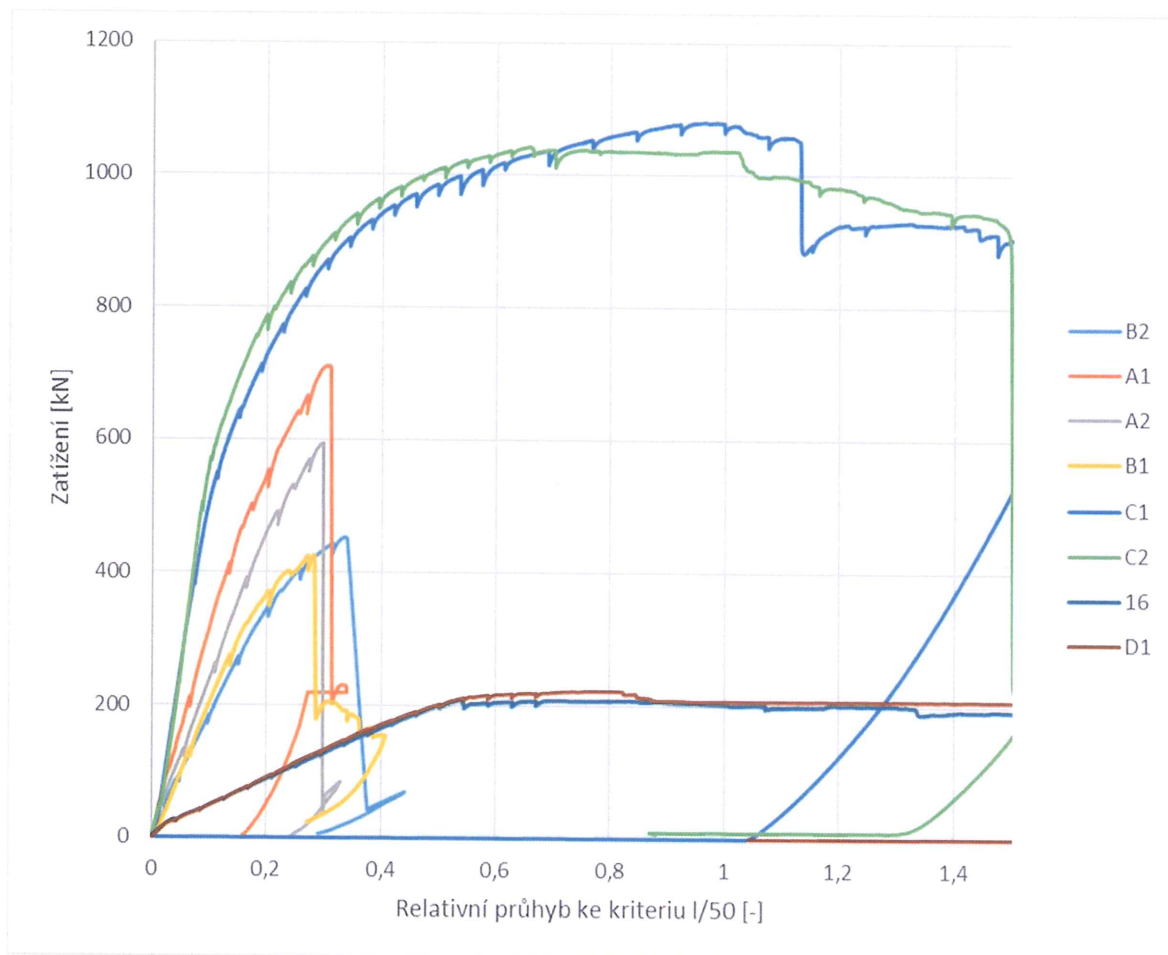
Statické zatěžovací zkoušky sledovaných železobetonových a předpjatých trámů proběhly od března do srpna 2019. Termíny zkoušek uvádí tab. 2. Při statické zatěžovací zkoušce bylo postupováno podle individuálního zatěžovacího postupu, který je modifikován pro validaci pokročilých výpočetních modelů. Zatěžovací zkouška byla rozdělena do zatěžovacích kroků, kdy přírůstek deformace byl 5 mm. Další další zatěžovací cyklus následoval po ustálení deformačního účinku.

4. VÝSLEDKY STATICKÉ ZATĚŽOVACÍ ZKOUŠKY

Výsledky a termíny zatěžovacích zkoušek jsou souhrnně uvedeny v tab. 2. Výsledky jsou uvedeny v celých kN. Ze zatěžovacích zkoušek je zpracován graf na obr. 2, kde s ohledem na různá rozpětí prototypů je průhyb vztažen k relativnímu měříku limitního průhybu [1] a rozpětí.

Tab. 2 Specifikace prototypových nosníků

Číslo	Ozn.	Popis (zkoušený prvek)	Zkouška	Max. zatížení [kN]	Porušení (Kolaps)
A1 (7)	1	Trémový železobetonový nosník z vysokopevnostního betonu	10.06.2019	710	Ohyb (Smyk)
A2 (5)	2	Trémový železobetonový nosník z vysokopevnostního betonu	03.06.2019	593	Ohyb (Smyk)
B1 (6)	3	Alkalicky aktivovaný kompozit pro trémový železobetonový nosník	07.06.2019	426	Ohyb (Smyk)
B2 (4)	4	Alkalicky aktivovaný kompozit pro trémový železobetonový nosník	13.05.2019	453	Ohyb (Smyk)
C1 (12)	5	Vysokohodnotný beton pro předpjaté nosníky	19.07.2019	1080	Ohyb (Smyk/Tlak)
C2 (14)	6	Vysokohodnotný beton pro předpjaté nosníky	02.08.2019	1043	Ohyb (Smyk/Tlak)
D1 (16)	7	Vysokopevnostní beton s drátky pro štíhlé železobetonové nosníky profilu I – krátké drátky	05.09.2019	222	Ohyb (Tlak)
D2 (15)	8	Vysokopevnostní beton s drátky pro štíhlé železobetonové nosníky profilu I – hybrid drátky	04.09.2019	208	Ohyb (Tlak)



Obr. 2 Graf maximálního zatížení prototypů

V Ostravě dne.....12.9.2019.....

Yuhata Ohno
.....

5. LITERATURA A POUŽITÉ PODKLADY

- [1] ČSN 73 2030 – Statické zatěžovací zkoušky stavebních konstrukcí, 2019.
- [2] Metrologický řád FAST, FAST_PKP_10_001, VŠB-TU Ostrava, 2019.
- [3] ČSN EN 12390-3 Stanovení pevnosti v tlaku zkušebních těles
- [4] ČSN EN 12390-6 Stanovení pevnosti v příčném tahu
- [5] ČSN ISO 1920-10 Stanovení statického modulu pružnosti v tlaku

FAKULTA STAVEBNÍ

L. Podéště 1875, 708 00 Ostrava - Poruba, tel.: 597321938, 597321932

KATEDRA STAVEBNÍCH HMOT A DIAGNOSTIKY STAVEB

Vysokohodnotný beton pro předpjaté nosníky (31.5.2017, 19.6.2017)

Pořad. číslo: 1

Objednatel:

ze dne: 6.9.2019

Stavba (HS): Komplexní návrh nosníků z pokročilých betonů, registrační číslo projektu CZ.01.1.02/0.0/0.0/15_019/0004505.

Výsledky laboratorních zkoušek-souhrn

Zkouška	Číslo v lab. deníku	Typ ¹⁾ tělesa	Rozměry tělesa před zkouškou			Hmotnost tělesa kg	Objem. hmot. tělesa kg.m ⁻³	Datum		Stáří vzorku dny	Síla kN	Pevnost v tlaku		Poznámky	
			Šířka mm	Šířka mm	Výška mm			Výroby tělesa	Zkoušení			Vzorku MPa	Průměr MPa		
															Průměr
													Průměr		
Pevnost v tlaku krychle 1 den												65,21			
Pevnost v tlaku krychle 28 dni												106,18			
Pevnost v příčném tahu - průměr 28 dni												6,575			
Pevnost v příčném tahu - kolmo * 28 dni												6,76			
Pevnost v příčném tahu - rovnobezne *												6,39			
* hodnoty pro recepturu ze dne 13.3.2018															
Pevnost v tlaku hranol 28 dni												95,2	107,7	4,0	99,1
Modul pružnosti statický - hranol 28 dni												38,8	46,2	3,0	41,0
Modul pružnosti dynamický 28 dni												49,6	50,5	5,0	50,0

¹⁾ K - krychle, V - válec, H - hranol, T - trámeček

ZÁVĚRY:

Zpracoval: Ing. Bc. Oldřich Sucharda, Ph.D.



**Únavové zkoušky:
Alkalicky aktivovaný kompozit pro trámový železobetonový
nosník**

(3. 5. 2018)

(Zpráva o průběhu a výsledcích dosažených při měření materiálových vlastností uvedeného materiálu – skupina Vysokocyklové únavy)

Vypracovali: doc. Ing. Stanislav Seitl, Ph.D.
doc. Ing. Jan Klusák, Ph.D.
Ing. Pavel Pokorný, Ph.D.
Ing. Petr Miarka
Michal Minařík

A handwritten signature in blue ink, consisting of several loops and strokes, is located in the lower right quadrant of the page.

Brno, srpen 2019

A small, handwritten mark or signature in blue ink is located in the bottom right corner of the page.

1. Úvod

V rámci projektu CZ.01.1.02/0.0/0.0/15_019/0004505 (*Komplexní návrh nosníků z pokročilých betonů*) byly skupinou Vysokocyklová únava ÚFM AV ČR v Brně provedeny práce zaměřené na zjištění základních únavových charakteristik vyvíjeného **alkalicky aktivovaného kompozitu** (betonáž 3. 5. 2018, prototyp: *Alkalicky aktivovaný kompozit pro trémový železobetonový nosník*). Podle zadání bylo hlavními cíli laboratorního měření:

- stanovení Wöhlerovy křivky a meze únavy při laboratorní teplotě,
- stanovení křivky odolnosti při kombinovaném módu namáhání I+II při laboratorní teplotě,
- porovnání zjištěných vlastností s analogickými charakteristikami standardně používaného betonu třídy C50/60 získanými za pokojové teploty.

V obou případech byly zkoušky provedeny na experimentálním materiálu dodaném firmou ŽPSV s.r.o. Firma ŽPSV s.r.o. zajistila výrobu zkušebních těles dle standardních rozměrů běžně užívaných forem. Následná úprava zkušebních těles byla provedena firmami Kamena (úprava rozměrů zkušebních těles a výroba iniciačního zářezu) a AWAC (příprava iniciačního zářezu uvnitř tělesa pomocí vodního paprsku) dle výkresů dodaných ÚFM AV ČR.

2. Stanovení Wöhlerovy křivky a meze únavy

Pro stanovení Wöhlerovy křivky a meze únavy byla připravena zkušební tělesa pro tříbodový ohyb se zářezem, viz Obr. 1.

Celkem bylo připraveno **16** zkušebních těles, která byla u řešitele označena pořadovými čísly **1 až 16**. Schéma uspořádání zkoušky a její vyhodnocení jsou uvedeny na Obr. 2. U všech vzorků byla volena orientace kolmo na směr hutnění, to znamená, že zatěžovaný průřez je dán výškou hranolu a šířkou formy bez iniciačního zářezu, viz Obr. 4.

2.1. Zkušební zařízení

Únavové zkoušky byly provedeny na zkušebním stroji **Servohydraulický pulsátor Zwick/Roell Amsler HC25**, viz Obr. 2.

Jedná se o kompaktní provedení servohydraulického pulsátoru určeného pro statické a dynamické testování materiálů až do síly 25 kN. Konstrukce pulsátoru dovoluje posuny čelistí při testech až 250 mm. Systém umožňuje přesné řízení testů v režimu řízení síly a polohy (posunu) pístnice. Díky sofistikovanému řídicímu softwaru lze měnit průběh daného zatěžování

na základě potřeb zkoušky. Stroj je určen k únavovým zkouškám při nízkých frekvencích. Frekvenční rozsah 0,001 ~ 110 Hz. Funkční generátor stroje umožňuje zatěžování se sinusovým, trojúhelníkovým, obdélníkovým a rampovým průběhem.

2.2. Provedení zkoušek

Zkoušky byly provedeny při symetrickém zatěžování, tj. s parametrem asymetrie cyklu $R = \sigma_{\min}/\sigma_{\max} = 0,1$. Řízena a kontrolována byla amplituda síly a střední síla. Zkoušky na rezonančním zkušebním stroji byly prováděny při frekvenci zatěžování 10 Hz.

Zkoušky byly vedeny až do lomu zkušebních těles. Pokud nedojde k lomu po dosažení 2×10^6 cyklů, jsou experimenty přerušeny. Jako mez únavy je stanovena nejvyšší hladina napětí, na které zůstala neporušena tři zkušební tělesa.

2.3. Výsledky

Výsledky měření únavové životnosti jsou uvedeny v Tab. 1 a graficky na Obr. 3. Mez únavy stanovená v souladu s tvrzením odstavce 2.2 jako hladina napětí, na kterém zůstala neporušená tři tělesa, odpovídá hodnotě $\sigma_c = 1,31$ MPa. Z Obr. 3 je patrný poměrně velký rozptyl experimentálně stanovených hodnot amplitud napětí σ_a , při nichž dochází k lomu vzorků. Důvod tohoto rozptylu spočívá zřejmě v nehomogenitě struktury materiálu (viz Obr. 4), velikost maximálního kameniva 8 mm. Rozptyl experimentálních hodnot byl kvantifikován proložením křivky střední hodnoty a koeficientem determinace R^2 , viz Obr. 5.

2.4. Srovnání s materiálem C50/60

Získané výsledky (Obr. 3) byly srovnány s odpovídajícími hodnotami pro standardně používanou třídu betonu C50/60. Únavové vlastnosti C50/60 byly změřeny na stejném zkušebním zařízení. Wöhlerovy křivky pro C50/60 a pro studovaný materiál jsou pro pokojovou teplotu uvedeny na Obr. 6. Z obrázku je patrný nárůst hodnot křivky životnosti a meze únavy pro studovaný materiál ve srovnání s referenční C50/60. Poznamenejme, že hodnota tlakové pevnosti u studovaného materiálu je pro laboratorní teplotu cca 20 °C po 28 dnech $f_c = 62$ MPa, zatímco pro C50/60 $f_c = 85,83$ MPa. Výše uvedený pokles meze únavy pro studovaný materiál ve srovnání s C50/60 lze korelovat se sníženou hodnotou tlakové pevnosti tohoto materiálu.

Srovnání odolnosti proti únavě je pak zobrazeno na Obr. 6, kde je vynesena křivka napětí, která je podělena tahovou pevností. Z obrázku je patrný pokles hodnot křivky životnosti a meze únavy pro studovaný materiál ve srovnání s referenční C50/60 a tedy lze konstatovat, že studovaný materiál má lehce horší únavovou odolnost.

3. Stanovení křivky rezistence pro kombinovaný mód namáhání

Zadavatel vyrobil a dodal ke zkouškám válcová zkušební tělesa \varnothing 150 mm délka 300mm podle požadavku řešitele. Následně byla tělesa rozřezána na válce tloušťky $t = 30$ mm a opatřena iniciačními zářezy délky 40 mm a 60 mm. Tyto zářezy byly různě natočeny vůči poloze (směru) zatížení, tímto bylo docíleno zatížení kombinovaným módem I/II (úhly natočení byly v rozmezí 0° – čistý tahový mód, (0° – 25°) – kombinovaný mód a 25° – čistý smykový mód II). Schéma zkoušky na tělese typu Brazílského disku je zobrazeno na Obr. 7.

Celkem bylo připraveno 23 zkušebních těles, z toho 12 s délkou zářezu 40 mm a 11 těles s délkou zářezu 60 mm, která byla u řešitele označena pořadovými čísly 1 až 12 a 1 až 11.

3.1. Zkušební zařízení

Zkoušky provedené na tělesech typu Brazílského disku byly provedeny na zkušebním lisu s maximální kapacitou 200 kN. Spodní čelisti byly osazeny příložkami se zakřivením $1,5 \times$ poloměr disku (pro zajištění roznosu zatížení do tělesa).

3.2. Provedení zkoušek a jejich vyhodnocení

Křivky rezistence pro kombinovaný mód namáhání byly stanoveny na základě měření na vzorcích typu Brazílský disk se zářezem, viz Obr. 7. Experimenty byly prováděny v režimu zatěžování 0.025 mm/sec za stejných laboratorních podmínek při pokojové teplotě. Experimentální data byla vyhodnocována dle doporučení z odborné literatury.

3.3. Výsledky zkoušek

Výsledky měření rezistence v kombinovaném módu namáhání I/II jsou uvedeny v Tab. 2 a graficky na Obr. 8. Ke stanovení křivek rezistence v kombinovaném módu namáhání bylo použito GMTS kritérium. Naměřené hodnoty lomové houževnatosti pro mód I – K_{IC} , mód II – K_{IIC} a její efektivní hodnotu – $K_{I,eff}$ jsou předloženy v Tab. 3. Z Obr. 8 je patrný poměrně velký rozptyl experimentálně stanovených hodnot oproti predikci GMTS kritéria. Důvod tohoto rozptylu, stejně jako u únavových zkoušek, spočívá zřejmě v nehomogenitě struktury materiálu (viz Obr. 4), velikost maximálního kameniva 8 mm.

3.4. Srovnání s materiálem C50/60

Získané výsledky pro křivky rezistence pro kombinovaný mód byly porovnány s odpovídajícími hodnotami pro C50/60. Výsledky pro materiál C50/60 byly již dříve publikovány. Srovnání je uvedeno na Obr. 10. Z porovnání na Obr. 10 je patrné, že studovaný materiál má ve srovnání s C50/60 větší odolnost pro mód I a současně i pro mód II. Vzhledem k tomu, že v případě

stavebních konstrukcí je třeba s koncentrátorem napětí počítat může být hodnota lomové houževnatosti klíčová, a tedy i rozdíl z hlediska praktických aplikací významný. Uvedené rozdíly lze opět vysvětlit na základě rozdílné struktury a složení materiálu.

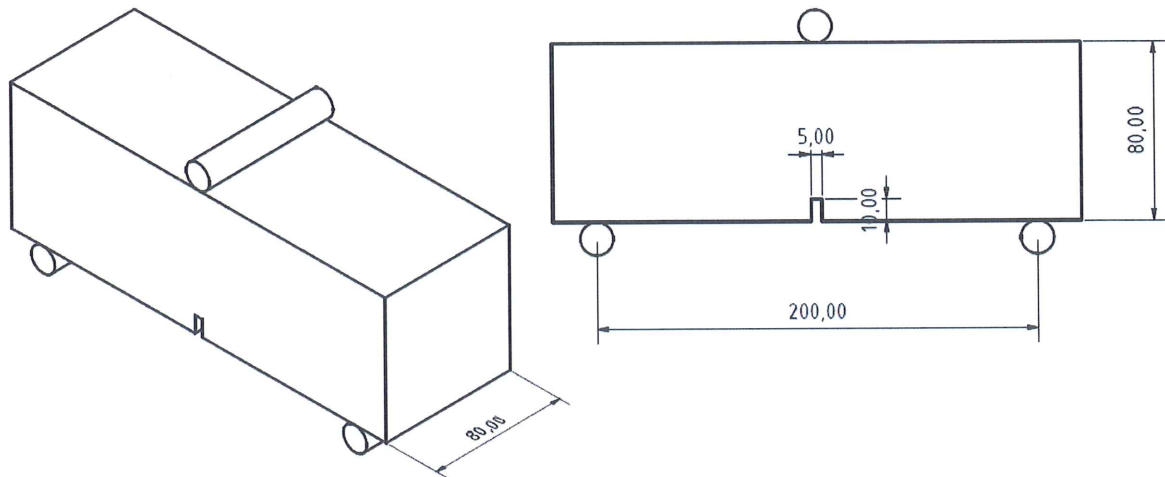
4. Závěr

Pro studovaný materiál byly provedeny základní únavové zkoušky a stanoveny křivky odolnosti v případě kombinovaného módu namáhání. Získané výsledky lze shrnout do těchto bodů:

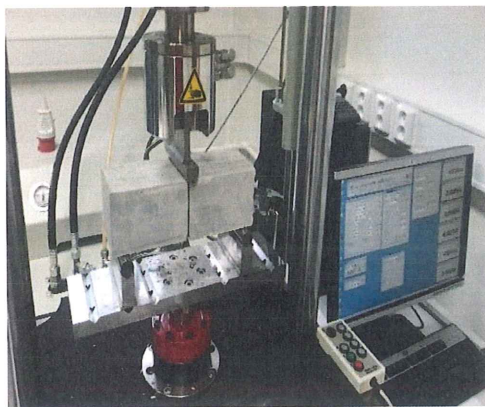
- Studovaný materiál má v absolutních hodnotách horší únavovou odolnost a únavová odolnost se pak rychleji snižuje.
- Studovaný materiál má horší vlastnosti lomové houževnatosti pro normálový mód I a současně i pro kombinovaný mód namáhání I/II.
- Uvedené srovnání obou materiálů nemá obecný charakter a získané hodnoty parametrů charakterizujících únavové procesy závisí na struktuře materiálu.

Tab. 1. Výsledky měření únavové životnosti.

vzorek č.	amplituda napětí σ_a [MPa]	počet cyklů N_f	poznámka
1	2.14	1	
2	2.45	1	
3	2.20	1	
4	1.89	121	
5	1.72	1 106	
6	1.65	2 106	
7	1.38	10 137	
8	1.45	49 926	
9	1.38	96 204	
10	1.41	503 895	
11	1.55	1 643 729	
12	1.31	2 000 000	neporušen
13	1.31	2 000 000	neporušen
14	1.31	2 478 717	neporušen
15	1.31	2 550 911	neporušen
16	1.38	3 000 000	neporušen

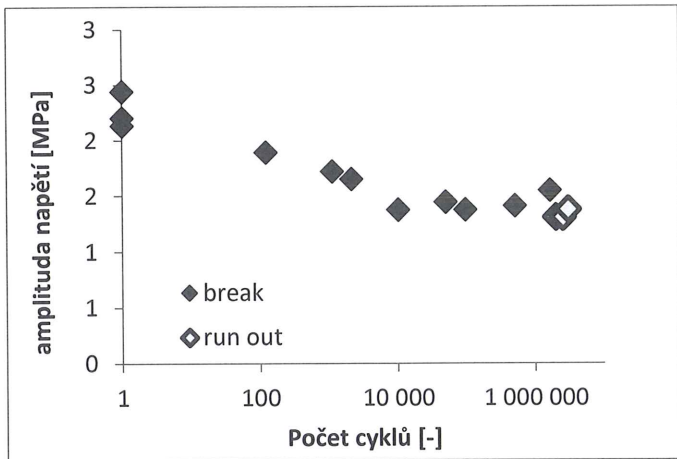


Obr. 1. Výkres použitých zkušebních těles pro stanovení Wöhlerovy křivky



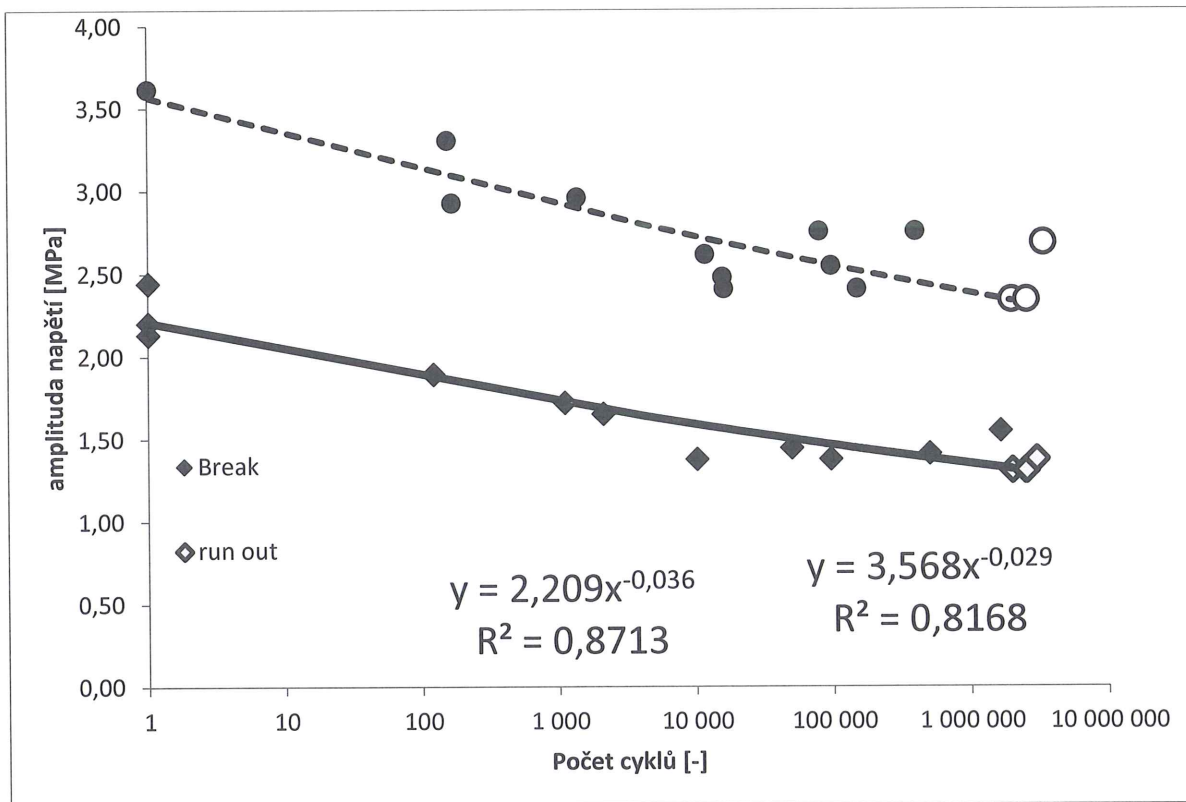
$$\sigma_{dol} = \frac{M * z}{I}$$

Obr. 2. Schéma uspořádání zkoušky a vztah pro maximální tahové napětí.

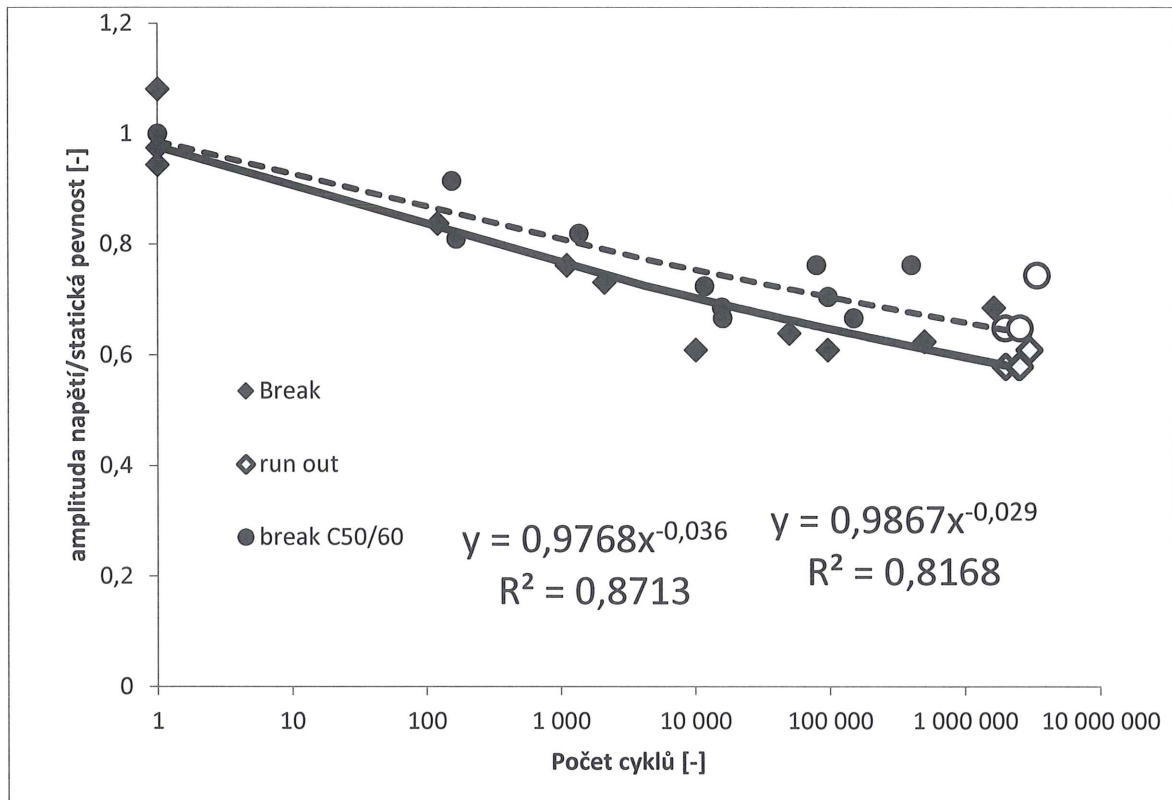


Obr. 3. Experimentálně stanovené životnosti zkušebních těles. Značky bez výplně označují neporušená zkušební tělesa.

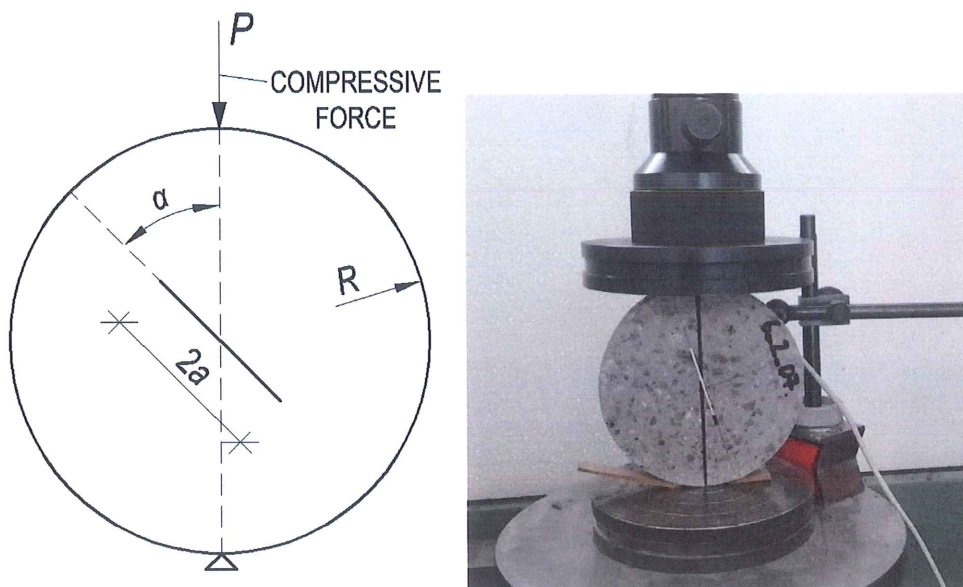
Obr. 4. Struktura studovaného betonu kamenivo do 8 mm směr sedání



Obr. 5. Odhad střední hodnoty a individuální hodnoty σ_a a koeficient determinace R^2 pro studovaný materiál a pro C50/60.



Obr. 6. Srovnání Wöhlerovy křivky pro studovaný AAC materiál a C50/60.



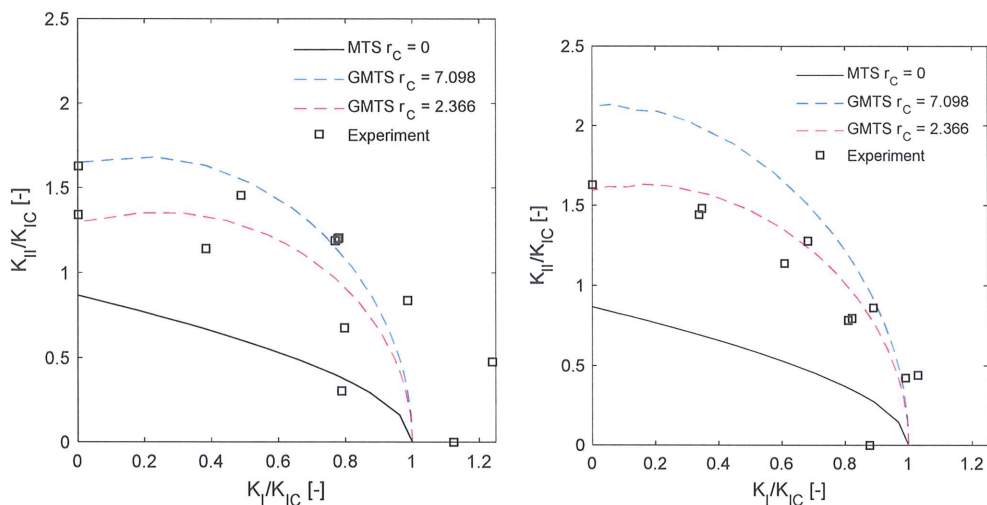
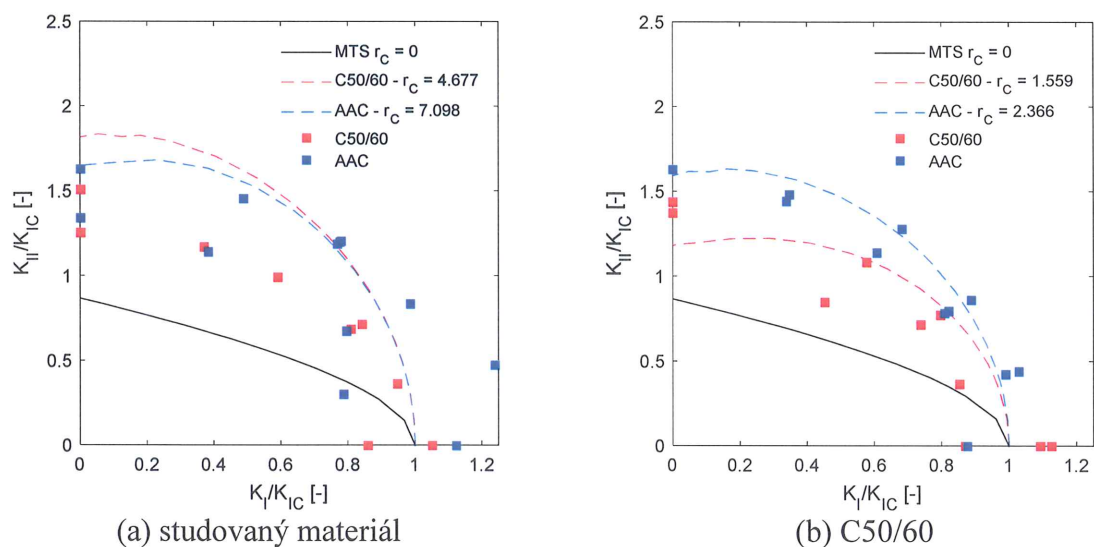
Obr. 7. Brazilský disk se zářezem a ukázka umístění vzorku v experimentálním zařízení.

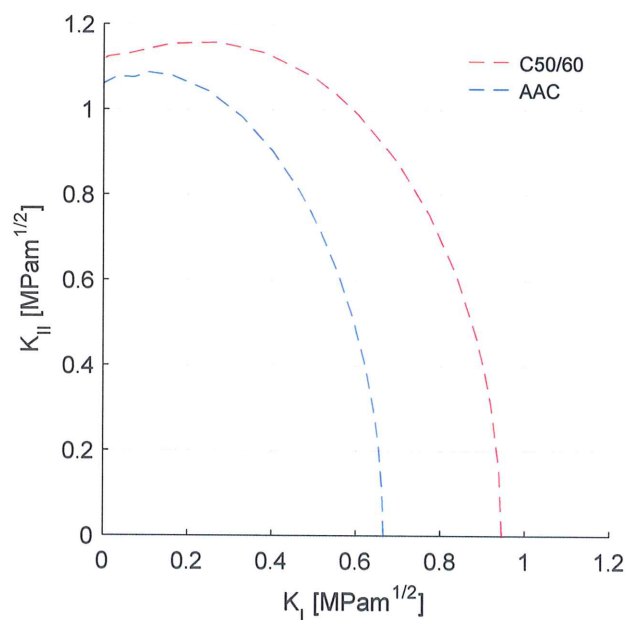
Tab. 2. Výsledky měření odolnosti v kombinovaném módu I/II namáhání.

ČÍSLO VZORKU	ÚHEL α [°]	K_I [MPam ^{1/2}]	K_{II} [MPam ^{1/2}]
1	0	0.748	0.000
2	5	0.825	0.317
3	5	0.525	0.202
4	5	0.530	0.450
5	10	0.656	0.557
6	10	0.517	0.799
7	15	0.512	0.792
8	15	0.519	0.803
9	20	0.325	0.969
10	20	0.255	0.761
11	27	0.001	0.893
12	27	0.001	1.084
1	0	0.584	0.000
2	5	0.686	0.294
3	5	0.659	0.283
4	10	0.592	0.574
5	10	0.539	0.523
6	10	0.547	0.531
7	15	0.405	0.759
8	20	0.455	0.852
9	20	0.231	0.987
10	20	0.225	0.961
11	25	0.000	1.085

Tab. 3. Hodnoty lomově mechanických parametrů v kombinovaném módu I/II namáhání.

K_{IC} [MPam ^{1/2}]	K_{IIC} [MPam ^{1/2}]	$K_{IC,eff}$ [MPam ^{1/2}]
0,666	1,020	1,218

Obr. 8. Výsledky a normovaná křivka odolnosti pro kombinovaný mód namáhání I+II (a) zářez délky 40 mm ($a/W=0,267$) (b) zářez délky 60 mm ($a/W=0,4$), sloužící pro vhodnou volbu kritické vzdálenosti r_c .Obr. 9. Srovnání normovaných křivek odolnosti pro kombinovaný mód namáhání I+II pro studovaný materiál a C50/60, (a) zářez délky 40 mm ($a/W=0,267$) (b) zářez délky 60 mm ($a/W=0,4$), pro různou kritickou vzdálenost r_c ,



Obr. 10. Srovnání materiálových křivek odolnosti pro kombinovaný mód namáhání I+II pro studovaný AAC materiál a C50/60 (střední hodnoty).